

УДК 548.0:539.17

© 1990 г.

ЯЦЕНКО А. В., СЕРГЕЕВ Н. А.

**ИССЛЕДОВАНИЕ ЭФФЕКТОВ РАЗУПОРЯДОЧЕНИЯ
В КРИСТАЛЛАХ ПО ФОРМЕ ЛИНИИ ЯМР КВАДРУПОЛЬНЫХ
ЯДЕР С ПОЛУЦЕЛЫМ СПИНОМ**

Рассмотрены общие свойства ориентационной зависимости моментов формы линии ЯМР центрального перехода ($\mp 1/2 \leftrightarrow \pm 1/2$) квадрупольных ядер с полуцелым спином для несовершенных кристаллов различной симметрии. Полученные выражения применяются для исследования эффектов разупорядочения в кристалле ниобата лития.

Известно, что спектр ядерного магнитного резонанса (ЯМР) ядер, обладающих электрическим квадрупольным моментом, определяется не только магнитными диполь-дипольными взаимодействиями, но также взаимодействиями квадрупольных моментов ядер с градиентами электрических полей в месте их расположения [1, 2]. Если окружение квадрупольного ядра имеет локальную симметрию ниже кубической, то спектр ЯМР такого ядра состоит из нескольких компонент. Различные несовершенства кристалла, связанные с условиями роста (дислокации, вакансии, примеси и т. д.) или с особенностями строения кристалла (несовершенные структуры, эффекты разупорядочения и т. д.), приводят к разбросу градиентов электрических полей на ядрах и к значительному неоднородному квадрупольному уширению спектральных линий ЯМР. Для квадрупольных ядер с полуцелым спином (количество которых значительно больше, чем ядер с целым спином) несовершенства кристалла в первом приближении не сказываются на частоте центрального перехода спектра ЯМР ($\mp 1/2 \leftrightarrow \pm 1/2$) и очень сильно уширяют боковые сателлиты [1, 2]. Во втором порядке теории возмущений квадрупольные взаимодействия приводят к сдвигу частоты центрального перехода спектра, который в несовершенных кристаллах, меняясь от ядра к ядру, приводит к неоднородному квадрупольному уширению формы линии ЯМР центрального перехода. До настоящего времени исследование квадрупольных эффектов в несовершенных кристаллах по форме линии ЯМР центрального перехода основывалось на методике восстановления формы линии, исходя из разумной модели разброса градиентов электрических полей в образце [3]. Такая методика, несмотря на определенный произвол в выборе функции распределения градиентов электрических полей, позволяет получить важную информацию об эффектах разупорядочения в кристаллах, хотя в целом она является неоднозначной и ограниченной.

В настоящей работе предлагается использовать для исследования эффектов разупорядочения в кристаллах моменты формы линии ЯМР центрального перехода. На примере монокристалла ниобата лития LiNbO_3 проиллюстрированы возможности использования метода моментов для исследования несовершенств кристаллической структуры.

**Моменты формы линии ЯМР центрального
перехода спектра**

Для квадрупольного ядра с полуцелым спином центральный переход спектра ЯМР ($\mp 1/2 \leftrightarrow \pm 1/2$) сдвинут относительно ларморовской частоты ν_0 на величину $\Delta\nu$ [2]

$$(\Delta\nu) = (v_q^2/144v_0) (a^{-3/4}) [9(\eta-3)^2 \cos^4 \theta - 6(\eta-3)(\eta-5) \cos^2 \theta + (\eta+3)^2], \quad (1)$$

где v_q — величина, пропорциональная константе квадрупольной связи (ККС), η — параметр асимметрии тензора градиента электрического поля (ГЭП), $a=I(I+1)$, I — спин ядра, θ — угол между главной осью тензора ГЭП и направлением внешнего магнитного поля \mathbf{B}_0 .

Поскольку в (1) входит только косинус угла между главной осью тензора ГЭП и направлением \mathbf{B}_0 , нетрудно получить общую формулу, описывающую ориентационную зависимость сдвига второго порядка центрального перехода в системе координат, в которой направление главной оси тензора ГЭП и направление \mathbf{B}_0 задаются единичными векторами \mathbf{n} и \mathbf{b} соответственно. Действительно, так как

$$\cos \theta = (\mathbf{nb}) = \sum_k n_k b_k, \quad (2)$$

то из (1) находим

$$(\Delta\nu) = (v_q^2/144v_0) (a^{-3/4}) \sum_{k,l,m,r} [9(\eta-3)^2 n_k n_l n_m n_r - 6(\eta-3)(\eta-5) n_k n_l \delta_{mr} + (\eta+3)^2 \delta_{kl} \delta_{mr}] b_k b_l b_m b_r. \quad (3)$$

Здесь k, l, m, r — координатные индексы, принимающие независимо значения x, y, z ; δ_{kl} — символ Кронекера.

Вводя тензор четвертого ранга

$$Q_{klmr} = (v_q^2/144v_0) (a^{-3/4}) [9(\eta-3)^2 n_k n_l n_m n_r - 6(\eta-3)(\eta-5) n_k n_l \delta_{mr} + (\eta+3)^2 \delta_{kl} \delta_{mr}], \quad (4)$$

который определяется только главными компонентами и ориентацией тензора ГЭП в выбранной кристаллофизической системе координат и не зависит от направляющих косинусов вектора магнитного поля, выражение (3) можно записать в следующем компактном виде:

$$(\Delta\nu) = Q_{klmr} b_k b_l b_m b_r. \quad (5)$$

Здесь и далее подразумевается суммирование по дважды повторяющимся координатным индексам.

Из (5) видно, что ориентационная зависимость сдвига второго порядка описывается выражением, по форме совпадающим с выражением, описывающим ориентационную зависимость второго момента спектров ЯМР ядер с $I=1/2$ [4, 5]. Это позволяет непосредственно использовать при анализе ориентационной зависимости сдвига второго порядка результаты, полученные при исследовании ориентационной зависимости второго момента спектров ЯМР [4]. В частности, в общем случае ориентационная зависимость $(\Delta\nu)$ описывается 15 структурными параметрами, являющимися линейными комбинациями компонент тензора Q_{klmr} . Экспериментальное определение этих 15 структурных параметров с наилучшей точностью достигается при использовании D -оптимальных планов, приведенных в [6].

В несовершенных кристаллах из-за разброса главных значений и ориентации главных осей тензора ГЭП сдвиг второго порядка будет меняться от ядра к ядру, приводя к дополнительному неоднородному уширению линии центрального перехода. Это дополнительное квадрупольное уширение определяется функцией распределения $f(\Delta\nu)$, которая в свою очередь целиком определяется разбросом главных значений и ориентаций главных осей ГЭП.

По определению n -й момент формы линии поглощения ЯМР относительно ларморовской частоты ν_0 определяется выражением [1]

$$S_n = \int_0^\infty (\nu - \nu_0)^n F(\nu) d\nu / \int_0^\infty F(\nu) d\nu, \quad (6)$$

где $F(\nu)$ — функция формы линии поглощения ЯМР. В диамагнитных твердых телах вклад в форму линии $F(\nu)$ дают магнитные диполь-дипольные взаимодействия ядер, электронно-ядерные взаимодействия (химический сдвиг), а также неоднородное квадрупольное взаимодействие, связанное с несовершенствами кристаллической решетки. В силу того что вклады в первый (S_1) и второй (S_2) моменты спектра ЯМР от различных взаимодействий аддитивны [1], для квадрупольного вклада в S_1 и S_2 получим

$$S_{1Q} = \int_0^{\infty} (\Delta\nu) f(\Delta\nu) d(\Delta\nu) / \int_0^{\infty} f(\Delta\nu) d(\Delta\nu) = \bar{Q}_{klmr} b_k b_l b_m b_r, \quad (7)$$

$$S_{2Q} = \int_0^{\infty} (\Delta\nu)^2 f(\Delta\nu) d(\Delta\nu) / \int_0^{\infty} f(\Delta\nu) d(\Delta\nu) = \bar{Q}_{klmrpsqt} b_k b_l b_m b_r b_p b_s b_q b_t, \quad (8)$$

где через \bar{Q}_{klmr} обозначен усредненный по случайному разбросу главных значений и ориентаций главных осей тензора ГЭП тензор Q_{klmr} , определяемый выражением (4), а тензор восьмого ранга $Q_{klmrpsqt}$ получается путем усреднения прямого произведения компонент тензора Q_{klmr}

$$Q_{klmrpsqt} = Q_{klmr} Q_{psqt}. \quad (9)$$

Здесь p, s, q, t , так же как и k, l, m, r — координатные индексы, принимающие независимо значения x, y, z .

Полученные выражения (7) и (8) показывают, что в несовершенных кристаллах ориентационные зависимости первого и второго моментов центрального перехода спектра ЯМР описываются поверхностями более высокого порядка, чем зависимости этих же величин в совершенных кристаллах. Это позволяет получать важные сведения о характере разупорядочения градиентов электрических полей на ядрах в несовершенных кристаллах, исследуя анизотропные свойства моментов линии ЯМР.

В дальнейшем мы ограничимся рассмотрением только выражения (7). Анализ выражения (8) здесь не приводится из-за громоздкости конечных результатов. Для простоты мы также ограничимся случаем, когда параметр асимметрии тензора ГЭП $\eta \ll 1$. В этом случае из (4) получим

$$Q_{klmr} = (\nu_q^2/16\nu_0) (a^{-3/4}) [9n_k n_l n_m n_r - 10n_k n_l \delta_{mr} + \delta_{kl} \delta_{mn}]. \quad (10)$$

Используя тождественные соотношения $n_k n_l b_k b_l b_m b_r \delta_{mr} = n_k n_l n_m n_r b_k b_l \delta_{mn}$ и $b_k b_l b_m b_r \delta_{kl} \delta_{mn} = n_k n_l n_m n_r \delta_{kl} \delta_{mr}$, выражение (7) можно написать в следующей эквивалентной форме:

$$S_{1Q} = \bar{G}_{klmr} (9b_k b_l b_m b_r - 10b_k b_l \delta_{mr} + \delta_{kl} \delta_{mn}), \quad (11)$$

где тензор \bar{G}_{klmr} определяется выражением

$$\bar{G}_{klmr} = (\nu_q^2/16\nu_0) (a^{-3/4}) n_k n_l n_m n_r. \quad (12)$$

Тензор \bar{G}_{klmr} симметричен относительно перестановки любой пары координатных индексов и, следовательно, имеет 15 различных компонент, приведенных в таблице. Наличие в кристалле элементов симметрии приводит к снижению количества линейно независимых компонент тензора \bar{G}_{klmr} . Компоненты тензора \bar{G}_{klmr} для различных кристаллографических классов также приведены в таблице.

В качестве конкретного приложения полученных выражений рассмотрим вид ориентационной зависимости первого момента центрального перехода спектра ЯМР ^{93}Nb в LiNbO_3 . Поскольку LiNbO_3 принадлежит к кристаллографическому классу $3m$ [7], ориентационная зависимость S_{1Q} имеет вид

$$S_{1Q} = \bar{G}_{xxyy} (27b_z^4 - 14b_z^2 - 5) + \bar{G}_{zzzz} (9b_z^4 - 10b_z^2 + 1) + \bar{G}_{zzxz} (-54b_z^4 + 44b_z^2 - 6) + 36\bar{G}_{zzxz} (b_x^2 - 3b_y^2) b_x b_z. \quad (13)$$

Компоненты тензора \bar{G}_{klmr} с учетом симметрии кристалла

Кристаллографические системы	Кристаллографические классы	Выбор осей прямоугольной системы координат	Отличные от нуля компоненты и соотношения между ними	Число линейно независимых компонент
Триклинная	1; $\bar{1}$	Произволен	$\bar{G}_{xxxx}; \bar{G}_{yyyy}; \bar{G}_{zzzz}; \bar{G}_{xxxy}; \bar{G}_{yyyz};$ $\bar{G}_{zzzx}; \bar{G}_{xyyy}; \bar{G}_{yzzz}; \bar{G}_{zxxx}; \bar{G}_{xxyy};$ $\bar{G}_{yyzx}; \bar{G}_{zzxy}; \bar{G}_{xxyy}; \bar{G}_{yyzz}; \bar{G}_{zzxx}$	15
Моноклинная	2; m ; $2/m$	$z \parallel 2$ (или $\perp m$); x, y — произволен	$\bar{G}_{xxxx}; \bar{G}_{yyyy}; \bar{G}_{zzzz}; \bar{G}_{xxxy}; \bar{G}_{yyyz};$ $\bar{G}_{xxzz}; \bar{G}_{xxxy}; \bar{G}_{xyyy}; \bar{G}_{zzxy}$	9
Ромбическая	222; $2mm$; $m\bar{m}m$	Однозначен	$\bar{G}_{xxxx}; \bar{G}_{yyyy}; \bar{G}_{zzzz}; \bar{G}_{xxxy}; \bar{G}_{yyyz};$ \bar{G}_{xxzz}	6
Тригональная	32; $3m$; $\bar{3}m$	$z \parallel 3$; $x \parallel 2$ (или $\perp m$),	$\bar{G}_{xxxx} = \bar{G}_{yy'yy} = 3\bar{G}_{xxxy}; \bar{G}_{zzzz};$ $\bar{G}_{xxzz} = -\bar{G}_{yyzx}; \bar{G}_{xxzz} = \bar{G}_{yyzz}$	4
	3; $\bar{3}$	$z \parallel 3$; x, y — произволен	Кроме приведенных выше $\bar{G}_{yyyz} = -\bar{G}_{xxyz}$	5
Тетрагональная	422; $4mm$; $\bar{4}2m$; $4/m\bar{m}m$	$z \parallel 4$; $x \parallel 2$ (или $\perp m$)	$\bar{G}_{xxxx} = \bar{G}_{yyyy}; \bar{G}_{zzzz}; \bar{G}_{xxxy};$ $\bar{G}_{xxzz} = \bar{G}_{yyzz}$	4
	4; $\bar{4}$; $4/m$	$z \parallel 4$; x, y — произволен	Кроме приведенных выше $\bar{G}_{xxxy} = -\bar{G}_{xyyy}$	5
Гексагональная	622; $6mm$; $\bar{6}2m$; $6/m\bar{m}m$	$z \parallel 6$; $x \parallel 2$ (или $\perp m$)	$\bar{G}_{xxxx} = \bar{G}_{yyyy} = 3\bar{G}_{xx'yy};$	3
	6; $\bar{6}$; $6/m$	$z \parallel 6$; x, y — произволен	$\bar{G}_{zzzz}; \bar{G}_{yyzz} = \bar{G}_{xxzz}$	
Кубическая	23; $43m$; $m\bar{3}$; 432 ; $m\bar{3}m$	Однозначен	$\bar{G}_{xxxx} = \bar{G}_{yyyy} = \bar{G}_{zzzz};$ $\bar{G}_{xxxy} = \bar{G}_{yyyz} = \bar{G}_{xxzz}$	2

Записывая компоненты тензора \bar{G}_{klmr} в явном виде и выполняя ряд тождественных преобразований, получим

$$V_0 \parallel c S_{1Q} = K (9\sqrt{v_q^2 n_z^4} - 10\sqrt{v_q^2 n_z^2 + v_q^2}), \quad (14)$$

$$V_0 \perp c S_{1Q} = (K/8) (27\sqrt{v_q^2 n_z^4} - 14\sqrt{v_q^2 n_z^2} - 5\sqrt{v_q^2}),$$

где $K = (a^{-3}/4)/16v_0$, c — ось симметрии кристалла.

Если усреднение по разбросу ККС и ориентации главных осей тензора ГЭП можно выполнить независимо

$$\sqrt{v_q^2 n_z^4} = \sqrt{v_q^2 n_z^4}, \quad \sqrt{v_q^2 n_z^2} = \sqrt{v_q^2 n_z^2}$$

и главные оси z тензоров ГЭП на ядрах ^{93}Nb близки к тригональной оси c

$$n_z = \cos \alpha \approx 1 - \alpha^2/2,$$

где α — угол между осью c и осью z тензора ГЭП, то из (14) получим

$$V_0 \parallel c S_{1Q} = 8K\sqrt{v_q^2} \alpha^2, \quad (15)$$

$$V_0 \perp c S_{1Q} = K(5\alpha^2 - 1)\sqrt{v_q^2}.$$

Помимо квадрупольного неоднородного уширения вклад в форму линии ЯМР дают диполь-дипольные взаимодействия между магнитными мо-

ментами ядер и электронно-ядерные взаимодействия (химический сдвиг), которые из-за несовершенств кристалла, меняясь от ядра к ядру, приводят к дополнительному уширению линии ЯМР. Диполь-дипольные взаимодействия дают нулевой вклад в первый момент спектра ЯМР [1], а вклад в первый момент от химического сдвига для кристаллов средней категории определяется выражением [8]

$$S_{1e} = \nu_0 [\bar{\sigma}_\perp - (\bar{\sigma}_\parallel - \bar{\sigma}_\perp) b_z^2]. \quad (16)$$

Здесь $\bar{\sigma}_\parallel$ и $\bar{\sigma}_\perp$ — главные компоненты тензора химического сдвига, а черта сверху обозначает среднее по случайному распределению, обусловленному несовершенством структуры кристалла.

Учитывая (15) и (16), найдем следующее окончательное выражение для первого момента линии ЯМР центрального перехода относительно лар-

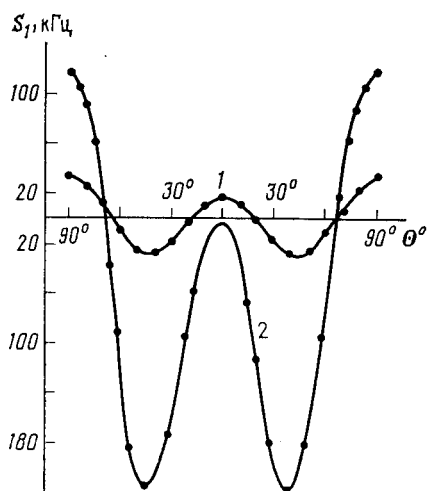


Рис. 1

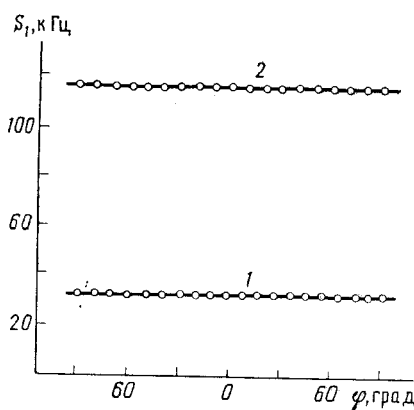


Рис. 2

Рис. 1. Ориентационная зависимость S_1 линии ЯМР центрального перехода ^{93}Nb в беспримесном монокристалле LiNbO_3 при $B_0=5,0$ (1) и 1,0 Т (2) в плоскости вращения, содержащей ось c

Рис. 2. Ориентационная зависимость S_1 линии ЯМР центрального перехода ^{93}Nb в беспримесном монокристалле ниобата лития при $B_0=5,0$ (1) и 1,0 Т (2) ($B_0 \perp c$)

моровской частоты ν_0 :
при $B_0 \parallel c$

$$S_1 = (1/2\nu_0) [3/4 - I(I+1)] \overline{\nu_q^2 \alpha^2} + \nu_0 \bar{\sigma}_\parallel, \quad (17)$$

при $B_0 \perp c$

$$S_1 = (1/16\nu_0) [3/4 - I(I+1)] \overline{\nu_q^2} \cdot (5\overline{\alpha^2} - 1) + \nu_0 \bar{\sigma}_\perp. \quad (18)$$

Экспериментальные результаты

Как видно из (17) и (18), для экспериментального определения $\overline{\nu_q^2}$, $\overline{\alpha^2}$, $\bar{\sigma}_\parallel$ и $\bar{\sigma}_\perp$ достаточно измерить значения S_1 при $\angle B_0 c = 0^\circ$ и $\angle B_0 c = 90^\circ$ для двух различных значений ν_0 . На рис. 1 и 2 представлены экспериментальные результаты по измерению расщеплений между меткой (раствор NbF_5 в HF) и центром тяжести линии ЯМР ^{93}Nb в LiNbO_3 при $B_0=1,0$ и 5,0 Т. Анализ полученных экспериментальных результатов с помощью (17) и (18) дал следующие значения для $\bar{\sigma}_\parallel$, $\bar{\sigma}_\perp$, $\overline{\nu_q^2}$ и $\overline{\alpha^2}$: $\bar{\sigma}_\parallel = (140 \pm 15) \cdot 10^{-6}$, $\bar{\sigma}_\perp = (-35 \pm 15) \cdot 10^{-6}$, $\overline{\nu_q^2} = (0,84 \pm 0,003)$ МГц, $\overline{\alpha^2} = (0,0043 \pm \pm 0,001)$ рад 2 , или $\sqrt{\overline{\alpha^2}} = 3^\circ 46' \pm 15'$.

Исследования примесных образцов LiNbO_3 , а также влияния освещения образцов $\text{LiNbO}_3:\text{Fe}$ на спектры ЯМР ^{93}Nb показали, что величина $\overline{\nu_q^2}$ практически не меняется при освещении образца и слабо меняется при изменении содержания примесей, а значения α^2 сильно зависят как от дефектности образца, так и от внешних воздействий [9, 10]. Это позволяет проводить оценку дефектности образцов и изучать влияние внешних факторов (температура, освещение, постоянное электрическое поле и др.) на структуру внутрикристаллических электрических полей в LiNbO_3 [11]. Отметим, что при определении дефектности монокристаллов LiNbO_3 метод ЯМР имеет определенные преимущества перед методом электронного парамагнитного резонанса (ЭПР), так как в отличие от ЯМР явление ЭПР наблюдается только на примесных ионах (или радикалах). Последние, из-за необходимости создания зарядовой компенсации находятся, как правило, в заведомо искаженных узлах кристаллической решетки, что приводит к неоднозначности в интерпретации экспериментальных ЭПР результатов.

Авторы выражают благодарность Э. П. Зееру и О. В. Фалалееву за помощь в проведении ЯМР измерений при $B_0=5$ Т.

Литература

1. Абрагам А. Ядерный магнетизм. М.: ИЛ, 1963. 551 с.
2. Cohen M. H., Reif F. // Solid State Physics. N. Y.—L.: Acad. Press, 1957. P. 321.
3. France P. W. // J. Magnetic Resonance. 1979. V. 34. P. 585.
4. Фалалеев О. В., Сергеев Н. А., Лундин А. Г. // Кристаллография. 1974. Т. 19. С. 560.
5. Лундин А. Г., Сергеев Н. А., Фалалеев О. В. // Проблемы магнитного резонанса. М.: Наука, 1978. С. 226.
6. Киперман Е. М., Фалалеев О. В., Сергеев Н. А., Лундин А. Г. Оптимальное планирование экспериментов в ЯМР твердого тела. Препринт ИФСО-92Ф. Красноярск: Ин-т физики СО АН СССР. 1978, 44 с.
7. Кузьминов Ю. С. Электрооптический и нелинейно-оптический кристалл ниобата лития. М.: Наука, 1987. 264 с.
8. Сергеев Н. А. // Радиоспектроскопия твердого тела. Вып. 3. Красноярск: Ин-т физики СО АН СССР, 1979. С. 109.
9. Яценко А. В., Сергеев Н. А. // ФТТ. 1986. Т. 28. С. 2567.
10. Яценко А. В., Сергеев Н. А. // ФТТ, 1985. Т. 27. С. 1239.
11. Яценко А. В., Сергеев Н. А. // Тез. Всесоюз. конф. «Применение магнитного резонанса в народном хозяйстве». Казань, 1988. С. 115.

Симферопольский государственный университет

Поступила в редакцию 28.XI.1988.